

# Antibakterijska svojstva punila mikro TiO<sub>2</sub> u biokompozitima na osnovi polietilena niske gustoće i rižinih ljuškica

A. Kovačević, D. Kučić Grgić,\* E. Govorčin Bajšić i N. Mrkonjić

Sveučilište u Zagrebu, Fakultet kemijskog inženjerstva i tehnologije  
Marulićev trg 19, 10 000 Zagreb, Hrvatska

<https://doi.org/10.15255/KUI.2019.005>

KUI-4/2020

Prethodno priopćenje  
Prispjelo 5. veljače 2019.  
Prihvaćeno 11. prosinca 2019.

Ovo djelo je dano na korištenje pod  
Creative Commons Attribution 4.0  
International License



## Sažetak

Polietilen niske gustoće (LDPE) sintetski je nerazgradljiv polimer koji se najčešće upotrebljava kao ambalažni materijal za pakiranje hrane, međutim njegova nerazgradljivost ima loš utjecaj na okoliš. Razvoj i uporaba biorazgradljivih polimernih materijala ili plastike kao ambalažnog materijala za pakiranje hrane danas je u značajnom porastu. Biopolimeri predstavljaju jednu od najznačajnijih alternativa za razvoj ekološki prihvatljive ambalaže u prehrambenoj industriji zbog njihove biorazgradljivosti. Cilj ovoga rada bio je pripremiti biokompozite na osnovi linearnog polietilena niske gustoće (LDPE), rižinih ljuškica (RLJ) i punila mikro titanijeva dioksida (mTiO<sub>2</sub>) kako bi se dobili biorazgradljivi biokompoziti s antibakterijskim učinkom, pogodni za primjenu kao ambalažni materijali u prehrambenoj industriji. Biokompoziti su pripremljeni umješavanjem u laboratorijskoj Brabender gnetilici. Ispitan je utjecaj različitog masenog udjela mTiO<sub>2</sub> ( $w = 0,5, 1,0, 1,5$  i  $2,0\%$ ) na inhibiciju bakterijske kulture *Escherichia coli*, *Pseudomonas aeruginosa* i *Bacillus subtilis*. Rezultati pokazuju da je mTiO<sub>2</sub> inhibirao rast bakterijske kulture *Escherichia coli*, *Pseudomonas aeruginosa* i *Bacillus subtilis* kod masenog udjela mTiO<sub>2</sub> od  $1,5$  i  $2,0\%$  (broj stanica bakterijskih kultura se smanjivao). Rezultati TGA i DSC mjerenja pokazuju prisutnost mTiO<sub>2</sub> u biokompozitim.

## Ključne riječi

Polietilen niske gustoće (LDPE), rižine ljuškice (RLJ), biokompoziti, titanijev dioksid (TiO<sub>2</sub>), antibakterijska svojstva

## 1. Uvod

Problemi onečišćenja okoliša povezani s proizvodnjom i upotrebom sintetskih materijala potaknuli su razvoj polimernih kompozita ojačanih prirodnim vlaknima koji mogu zamijeniti skupe sintetske materijale.<sup>1</sup> Prirodna vlakna kao ojačavač u polimernim kompozitima imaju mnoge prednosti u odnosu na sintetska vlakna, kao što su niža cijena prerade, niska gustoća, otpornost na koroziju, visoka otpornost na puhanje i visoka čvrstoća te su obnovljiva i imaju svojstva biorazgradljivog materijala.<sup>2,3</sup> U ambalažne materijale za pakiranje prehrambenih proizvoda s ciljem sprječavanja kvarljivosti zapakiranih proizvoda dodaju se i aktivni spojevi, kao što su antioksidansi i antimikrobni agensi. Antimikrobni agensi sprječavaju razmnožavanje mikroorganizama (bakterije, alge, gljive) i smanjuju brzinu njihova rasta te na taj način održavaju kvalitetu prehrambenih proizvoda, odnosno povećavaju vijek njihova trajanja. Razlikuju se dvije vrste antimikrobnih agenasa – organski i anorganski. Organski antimikrobni agensi obično su u usporedbi s anorganskim antimikrobnim agensima manje stabilni, posebno na visokim temperaturama i tlakovima. Najviše upotrebljavani anorganski antimikrobni agensi su metalni oksidi kao što su ZnO,<sup>4,5</sup> CuO,<sup>4,5</sup> TiO<sub>2</sub><sup>4,5</sup> i Ag.<sup>4,5</sup> Jedan od mogućih antimikrobnih agenasa je titanijev dioksid, koji u određenim količinama inhibira rast bakterija i time utječe na sigurnost i kvalitetu upakiranog proizvoda.<sup>4-7</sup> Mikroorganizmi, odnosno bakterije koje imaju sposobnost biorazgradnje polietilenskih vrećica su: *Pseudomonas* sp.,<sup>8</sup> *Pseudomonas aeruginosa*,<sup>9</sup> *Pseudomonas fluorescens*,<sup>10</sup> *Stenotrophomonas* sp.,<sup>11</sup> *Rhodococcus rhodochrous*<sup>12</sup> i mno-

ge druge, te gljive: *Aspergillus niger*,<sup>13</sup> *Aspergillus flavus*,<sup>14</sup> *Penicillium simplicissimum*<sup>15</sup> i druge. Rod *Pseudomonas* obuhvaća gram-negativne, nefermentativne, pokretne, aerobne štapiće, od kojih neki stvaraju vodotopljive pigmente. Većina sojeva proizvodi jedan ili više pigmenata, uključujući piocijanin (plavo-zeleni), pioverdin (žuto-zeleni i fluorescentni) i piorubin (smeđe-crveni).<sup>16</sup> Rastu pri temperaturi od  $25^{\circ}\text{C}$  do  $37^{\circ}\text{C}$  te su široko rasprostranjeni mikroorganizmi koji imaju mogućnost preživljavanja u različitim uvjetima.<sup>16</sup> *Pseudomonas aeruginosa* najznačajnija je vrsta roda *Pseudomonas*, otporna je na mnoge onečišćujuće tvari, učinkovito ih razgrađuje u okolišu te može preživjeti i temperature od  $45$  do  $50^{\circ}\text{C}$ . *Pseudomonas aeruginosa* najčešće uzrokuje infekcije kod osoba s oslabljenim imunološkim sustavom i infekcije respiratornog sustava, kože, oka i mokraćnog sustava.<sup>16</sup> *Pseudomonas aeruginosa* je u mogućnosti razgraditi  $50,5\%$  polietilena niske gustoće u razdoblju od 2 mjeseca.<sup>17</sup> Bakterije iz roda *Bacillus* su gram pozitivni, sporogeni i aerobni štapići. Bakterije tog roda često onečišćuju operacijske dvorane, bakteriološke uzorke, hranu i farmaceutske proizvode. Bakterije roda *Bacillus* veoma su otporne na djelovanje vanjskih čimbenika zbog stvaranja endospora te su iznimno proširene u prirodi (zemlja, prašina, voda), često se nalaze na biljkama i životinjama. *Escherichia coli* je gram-negativni, asporogeni, aerobni i fakultativno anaerobni štapić. Lako se kultivira na uobičajenim hranjivim podlogama. Nakon inkubacije od 18 sati pri  $37^{\circ}\text{C}$  na hranjivom agaru stvara velike, okrugle, lagano konveksne, glatke kolonije. Njezina optimalna temperatura rasta je  $35$  –  $37^{\circ}\text{C}$ , no podnosi i temperature ispod  $0^{\circ}\text{C}$ , a  $60^{\circ}\text{C}$  je ubija nakon 15 min. S ciljem sprječavanja kvarljivosti zapakiranih proizvoda, u ambalažne materijale za pakiranje dodaju se aktivni spojevi kao što su antioksidansi i antimikrobni agensi. Organski antimikrobni agensi u usporedbi s anorganskim antimikrobni agensima

\* Autor za dopisivanje: doc. dr. sc. Dajana Kučić Grgić  
e-pošta: [dkucic@kit.hr](mailto:dkucic@kit.hr)

obično su manje stabilni, posebno pri visokim temperaturama i tlaku. U antimikrobne agense spada i TiO<sub>2</sub> koji u određenim količinama inhibira rast bakterija i time utječe na sigurnost i kvalitetu proizvoda.<sup>4-6</sup> Inhibirajući učinak TiO<sub>2</sub> prema bakterijama iznimno je važan zbog sposobnosti patogenih bakterija da uđu u ekosustav hranidbenog lanca.<sup>18</sup> Antibakterijsko djelovanje TiO<sub>2</sub> proizlazi iz njegove sposobnosti aktivacije slobodnih hidroksilnih radikal (OH<sup>-</sup>). Cilj rada bio je pripraviti biokompozite na osnovi polietilena niske gustoće (LDPE) i rižinih ljkusika (RLJ) koji mogu naći primjenu kao ambalažni materijali u prehrabrenoj industriji. Kako bi se očuvala kvaliteta i zdravstvena sigurnost zapakiranog prehrabrenog proizvoda u LDPE/RLJ biokompozit potrebno je dodati antimikrobnii agens koji sprječava razmnožavanje i rast bakterija i time kvarljivost zapakiranih proizvoda. U tu svrhu pripravljeni su LDPE/RLJ biokompoziti bez dodatka i s različitim masenim udjelom mTiO<sub>2</sub> ( $w = 0,5; 1,0; 1,5$  i  $2,0\%$ ) te je ispitana antibakterijski učinak mTiO<sub>2</sub> na bakterijsku kulturu *Escherichia coli*, *Pseudomonas aeruginosa* i *Bacillus subtilis*. Za takve ambalažne materijale važno je da udovoljavaju propisanim specifičnim uvjetima kao što je i antimikrobrovo djelovanje. TiO<sub>2</sub> zbog svoje sposobnosti da onemogući aktivaciju enzima u stanicama vezivanjem na elektron donorske skupine stvara pore u staničnim stjenkama bakterija, što dovodi do stanične smrti.

## 2. Eksperimentalni dio

### 2.1. Materijali

U radu je upotrijebljeno polietilen niske gustoće (LDPE) (Dow 150E), proizvođača Dow Chemical Company, MFR =  $2,3 \text{ g min}^{-1}$ , gustoće  $0,92 \text{ g cm}^{-3}$  te rižine ljkusice porijekla: Kočani/Makedonija, tip riže: Sant Andrea, Italija. Kao antibakterijski agens upotrijebljeno je 99,8 %-no punilo mikro titanijev dioksid (mTiO<sub>2</sub>) proizvođača Aldrich, relativne molekulske mase  $79,866 \text{ g mol}^{-1}$  te bakterijske kulture *Escherichia coli* (3001), *Pseudomonas aeruginosa* (3011) i *Bacillus subtilis* (3020). Sve bakterijske kulture izolirane su iz okoliša i pohranjene su u zbirci mikroorganizama u Zavodu za industrijsku ekologiju Fakulteta kemijskog inženjerstva i tehnologije.

### 2.2. Priprema uzoraka

#### 2.2.1. Priprema hranjive podloge

Hranjiva podloga za uzgoj bakterija (hranjivi agar) pripređena je u Erlenmeyerovoj tirkici prema uputama proizvo-

dača (Biolife Manual, 2<sup>nd</sup> Ed., Ingraf, Italija, 1991.). 3,25 g bujona i 4,70 g agar otopljeno je u  $250 \text{ cm}^3$  deionizirane vode. Podloga je homogenizirana, zagrijana do vrenja i sterilizirana 15 min u autoklavu pri  $120^\circ\text{C}$  i 1,1 atm. Za vlažnu sterilizaciju hranjivih podloga te čistog i nečistog staklenog posuda upotrijebljen je autoklav Sutjeska, Jugoslavija. Suspenzije su se homogenizirale homogenizatorom REAX top, Heidolph, Njemačka.

### 2.2.2. Priprema biokompozita

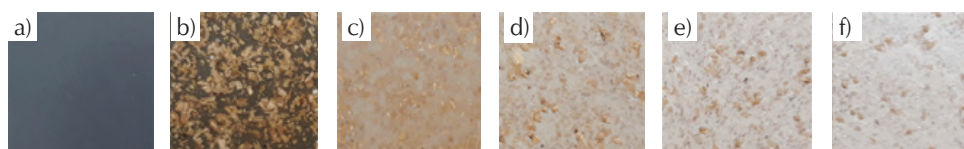
Rižine ljkusice su prije umješavanja u LDPE usitnjene u mikseru IKA-WERKE M20 i sušene 24 h u sušioniku pri  $90^\circ\text{C}$ , kako bi se uklonila eventualno prisutna vlaga. Umješavanje rižinih ljkusica i mTiO<sub>2</sub> u LDPE provedeno je na gnjetilici Brabender pri temperaturi od  $135^\circ\text{C}$  u vremenu od 5 min uz  $45 \text{ o min}^{-1}$  nakon čega je pripremljen film čistog LDPE-a i četiri filma LDPE/RLJ/mTiO<sub>2</sub> biokompozita u masenom omjeru LDPE/RLJ 60/40 uz dodatak mTiO<sub>2</sub> u masenim udjelima od 0,5, 1,0, 1,5 i 2,0 %. Filmovi su isprešani na preši Fortune SRB pri temperaturi od  $135^\circ\text{C}$  u vremenu od 5 min. Na slici 1 prikazani su filmovi čistog LDPE-a (slika 1a), LDPE/RLJ 60/40 (slika 1b) te filmovi LDPE/RLJ/TiO<sub>2</sub> biokompozita uz dodatak mTiO<sub>2</sub> u različitim udjelima (slike 1c-f).

### 2.3. Karakterizacija biokompozita

#### 2.3.1. Test antibakterijskog djelovanja mikro TiO<sub>2</sub>

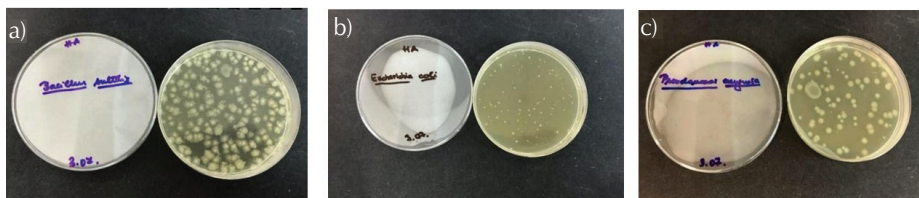
Određivanje prijenosa antimikrobnih sastojaka provedeno je prema Normi ISO 22196. Prije postavljanja pokusa bilo je potrebno osigurati sterilne uvjete rada. Posude koje je pritom upotrijebljeno sterilizirano je vlažnom sterilizacijom u autoklavu pri  $121^\circ\text{C}$  i 1 atm predtlaka, 30 min. Dan prije postavljanja pokusa, bakterije *Escherichia coli*, *Pseudomonas aeruginosa* i *Bacillus subtilis* uzgojile su se na kosoj hranjivoj podlozi te su stavljene na inkubaciju pri temperaturi  $37^\circ\text{C}$  24 h (slika 2).

Sterilnom mikrobiološkom ušicom ostrugana je mala količina izrasle bakterijske kulture s podloge i prenesena je u  $10 \text{ cm}^3$  sterilne fiziološke vode i dobro homogenizirana. Početni broj stanica bakterija *Escherichia coli*, *Pseudomonas aeruginosa* i *Bacillus subtilis* iznosio je  $10^6 \text{ st cm}^{-3}$ . U Petrijevu zdjelicu izliveno je  $10 \text{ cm}^3$  sterilne fiziološke vode, stavljen je trokut i na trokut predmetnica na koju se stavio uzorak kako je prikazano na slici 3.



Slika 1 – Fotografija čistog LDPE filma (a), filma LDPE/RLJ 60/40 biokompozita (b), filmova LDPE/RLJ/TiO<sub>2</sub> uz maseni udio mTiO<sub>2</sub> od 0,5 % (c), 1,0 % (d), 1,5 % (e) i 2,0 % (e)

Fig. 1 – Photograph of the neat LDPE film (a), LDPE/RH 60/40 biocomposite film (b), LDPE/RH/TiO<sub>2</sub> biocomposite films with mass fraction of mTiO<sub>2</sub> of 0,5 % (c), 1,0 % (d), 1,5 % (e), and 2,0 % (e)



Slika 2 – Fotografije na kojima je prikazan rast kolonija bakterijske kulture a) *Bacillus subtilis*, b) *Escherichia coli* i c) *Pseudomonas aeruginosa* na hranjivom agaru

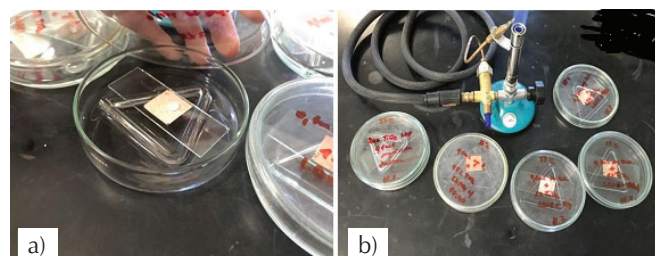
Fig. 2 – Photographs of bacterial culture colony growth, a) *Bacillus subtilis*, b) *Escherichia coli*, and c) *Pseudomonas aeruginosa*



Slika 3 – Određivanje prijenosa antimikrobnih sastojaka prema Normi ISO 22196

Fig. 3 – Determination of the transfer of antimicrobial constituents according to ISO 22196

Na predmetnicu je stavljen film čistog LDPE/RLJ 60/40 biokompozita (slika 4a) i filmovi LDPE/RLJ/mTiO<sub>2</sub> biokompozita s određenim masenim udjelom mTiO<sub>2</sub> (slika 4b) na koje se je otpipetiralo 0,1 cm<sup>3</sup> mješovite suspenzije bakterijske kulture.



Slika 4 – Fotografija filma LDPE/RLJ 60/40 biokompozita na predmetnici (a) i filmova LDPE/RLJ/mTiO<sub>2</sub> biokompozita s različitim udjelom mTiO<sub>2</sub> postavljenih na predmetnicu (b)

Fig. 4 – Photograph of the LDPE/RH 60/40 biocomposite film on the subject, and (a) LDPE/RH/mTiO<sub>2</sub> biocomposites films with different content of mTiO<sub>2</sub> placed on the subject

Petrijeve zdjelice stavljene su na inkubaciju 24 h pri temperaturi 37 °C. Nakon 24 h uzorak se prenio sterilnom tehnikom rada u 10 cm<sup>3</sup> sterilne fiziološke vode te su priređena razrjeđenja do 10<sup>-6</sup> nakon čega se 1 cm<sup>3</sup> piredenih razrjeđenja 10<sup>-4</sup>, 10<sup>-5</sup> i 10<sup>-6</sup> zališio hranjivim agarom, homogenizirao i stavio na inkubaciju 24 h pri temperaturi

37 °C. Nakon 24 h izbrojale su se izrasle kolonije i odredio se broj izraslih stanica u cm<sup>3</sup> (jedn. 1).

$$\text{st cm}^{-3} = \text{broj izraslih kolonija}/1 \text{ cm}^3 \times 1/\text{razrjeđenje} \quad (1)$$

### 2.3.2. Termogravimetrijska analiza TGA

S obzirom na to da mTiO<sub>2</sub> pri manjim masenim udjelima (0,5 i 1,0 %) nije pokazao inhibičko djelovanje prema bakterijskim kulturama, provedena su mjerena TGA kako bi se odredio udio mTiO<sub>2</sub> u LDPE/RLJ/TiO<sub>2</sub> biokompozita koji je zaostao kao kruti ostatak nakon toplinske razgradnje biokompozita. Određen je i utjecaj udjela mTiO<sub>2</sub> na toplinsku stabilnost LDPE/RLJ/TiO<sub>2</sub> biokompozita. Mjerenja su provedena na TGA analizatoru Q500 (tvrtke TA Instruments). Uzorci od oko 10 mg analizirani su u struji dušika (60 ml min<sup>-1</sup>) uz brzinu zagrijavanja od 10 °C min<sup>-1</sup>, u temperurnom području od 25 °C do 700 °C.

### 2.3.3. Diferencijalna pretražna kalorimetrija (DSC)

Općenito, punilo može djelovati kao centar nukleacije unutar polimerne matrice i na taj način povećati stupanj kristalnosti polimera. Stupanj kristalnosti čistog LDPE-a i LDPE/RLJ/TiO<sub>2</sub> biokompozita izračunat je iz mjeranja provedenih tehnikom DSC. Uz stupanj kristalnosti za sve uzorce određene su temperatura taljenja ( $T_m$ ) i temperatura kristalizacija ( $T_c$ ). Upotrijebljen je DSC analizator Mettler Toledo DSC 822<sup>e</sup>. Uzorci od oko 10 mg mjereni su u struji dušika (40 ml min<sup>-1</sup>) uz brzinu zagrijavanja i hlađenja od 10 °C min<sup>-1</sup> u temperurnom području od -100 °C do 250 °C, kroz dva ciklusa zagrijavanja i dva ciklusa hlađenja. Stupanj kristalnosti ( $\chi_c$ ) za čisti LDPE i LDPE/RLJ biokompozite bez dodatka mTiO<sub>2</sub> i s različitim udjelom mTiO<sub>2</sub> izračunat je preko izraza (1):

$$\chi_c = \left( \frac{Hm^\circ}{Hm^{100} \cdot \left( 1 - \frac{w(\text{TiO}_2)/\%}{100} \right)} \right) \cdot 100, \quad (2)$$

gdje je  $\Delta Hm^\circ$  = entalpija taljenja očitana iz DSC krivulje zagrijavanja,  $\Delta Hm^{100}$  = entalpija taljenja za 100 % kristalan LDPE i iznosi 290,0 J g<sup>-1</sup>,  $w(\text{TiO}_2)/\%$  = maseni udio mTiO<sub>2</sub>

### 3. Rezultati i rasprava

#### 3.1. Ispitivanje antibakterijskih svojstva TiO<sub>2</sub> u LDPE/RLJ filmovima

Cilj ovog rada bio je istražiti utjecaj različitog udjela mTiO<sub>2</sub> na inhibiciju bakterijske kulture *Escherichia coli*, *Pseudomonas aeruginosa* i *Bacillus subtilis* te koliki je njegov optimalni udio u biokompozitima polietilena niske gustoće i rižinih ljuštica kako bi se njihovi filmovi mogli upotrebljavati kao ambalažni materijal za pakiranje hrane. U tablici 1 prikazani su dobiveni rezultati prijenosa antimikrobnih sastojaka LDPE, LDPE/RLJ i LDPE/RLJ/TiO<sub>2</sub> biokompozita.

Tablica 1 – Određivanje prijenosa antimikrobnih sastojaka LDPE, LDPE/RLJ i LDPE/RLJ/TiO<sub>2</sub> biokompozita

Table 1 – Determination of antimicrobial agents of LDPE, LDPE/RH, and LDPE/RH/TiO<sub>2</sub> biocomposites

Uzorci Samples	$\text{st cm}^{-3}$
0. dan	$5,94 \cdot 10^7$
LDPE (slijepa proba)	$2,26 \cdot 10^7$
LDPE + RLJ	$5,83 \cdot 10^7$
LDPE + RLJ + 0,5 % mTiO <sub>2</sub>	$5,60 \cdot 10^7$
LDPE + RLJ + 1,0 % mTiO <sub>2</sub>	$5,48 \cdot 10^7$
LDPE + RLJ + 1,5 % mTiO <sub>2</sub>	$3,90 \cdot 10^7$
LDPE + RLJ + 2,0 % mTiO <sub>2</sub>	$3,54 \cdot 10^7$

Prema dobivenim rezultatima može se primjetiti da se pri masenom udjelu mTiO<sub>2</sub> od 1,5 i 2,0 % broj stanica bakterija smanjio u odnosu na 0. dan, što ukazuje na inhibicijsko djelovanje mTiO<sub>2</sub>, dok se pri manjim udjelima mTiO<sub>2</sub> ne vidi neka značajnija promjena ukupnog broja stanica bak-

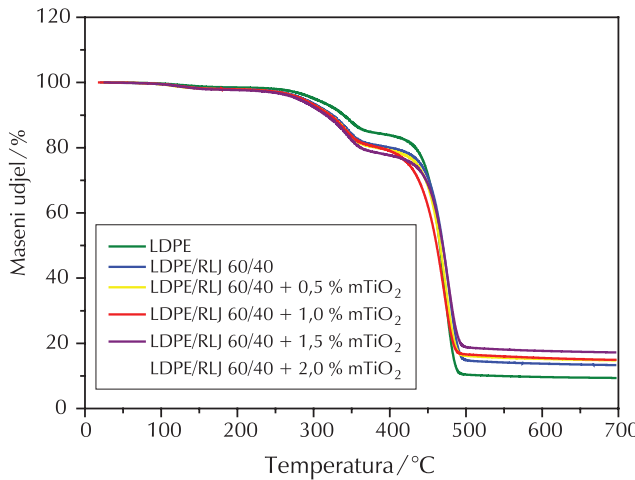
terija. Dodatno, može se primjetiti da se kod samog LDPE bez mTiO<sub>2</sub> broj stanica bakterija znatno smanjio, a razlog tomu može biti da bakterije nisu imale hrane, dok se kod mješavine LDPE/RLJ broj stanica bakterija nije promijenio jer su bakterijama RLJ djelovale kao izvor hrane.

#### 3.2. Rezultati dobiveni mjerjenjem TGA

Termogravimetrijska analiza (TGA) široko je primjenjivana toplinska tehnika zbog svoje visoke točnosti u određivanju temperature toplinske razgradnje i toplinske stabilnosti materijala.<sup>19</sup>

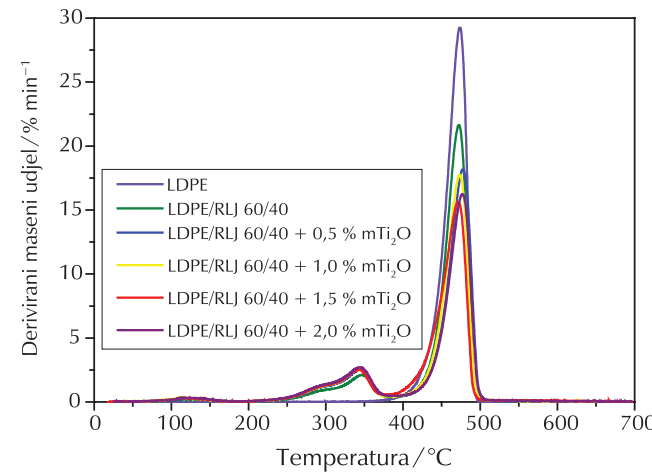
Na slici 5 prikazane su TG krivulje za čisti LDPE i LDPE/RLJ biokompozite bez dodatka TiO<sub>2</sub> i s različitim udjelom TiO<sub>2</sub> u biokompozitu dobivene u inertnoj atmosferi dušika, a na slici 6 DTG krivulje za iste uzorke. Iz slike 5 vidljivo je da se čisti LDPE razgrađuje u jednom stupnju razgradnje i to u relativno malom temperaturnom intervalu. Naime, temperatura početka razgradnje ( $T_{5\%}$ ) čistog LDPE iznosi 427,8 °C, temperatura maksimalne brzine razgradnje ( $T_{3\max}$ ) 473,4 °C, dok je kraj razgradnje pri temperaturi od 484,6 °C. Kod čistog LDPE-a povećanjem temperaturе dolazi do nasumičnog pucanja lanca te dekompozicije na bočnim skupinama polimernog lanca.<sup>20,21</sup> Iznad 480 °C količina čistog LDPE-a je vrlo mala zbog daljnog pucanja lanca i nastajanja plinovitih produkata te na višim temperaturama dolazi do potpune razgradnje LDPE-a (ostatak na 700 °C iznosi 0,0 %).

Na DTG krivuljama LDPE/RLJ biokompozita (slika 6) vidljiv je mali pik na nižim temperaturama iznad 100 °C vezan za gubitak vlage ( $T_{1\max}$ ), između 200 i 310 °C javlja se pik kao rame vezan za razgradnju hemiceluloze. Sljedeći gubitak mase javlja se između 310 i 370 °C s  $T_{2\max}$  pri 346,2 °C koji odgovara razgradnji celuloze. Gubitak mase na višim temperaturama koji se manifestira kao najveći pik na DTG krivulji s  $T_{3\max}$  pri 472,4 °C odgovara razgradnji LDPE-a.



Slika 5 – TG krivulje za čisti LDPE i LDPE/RLJ biokompozite bez dodatka mTiO<sub>2</sub> i s različitim masenim udjelom mTiO<sub>2</sub>

Fig. 5 – TG curves of the neat LDPE and LDPE/RH biocomposites without mTiO<sub>2</sub> and with different mass fraction of mTiO<sub>2</sub>

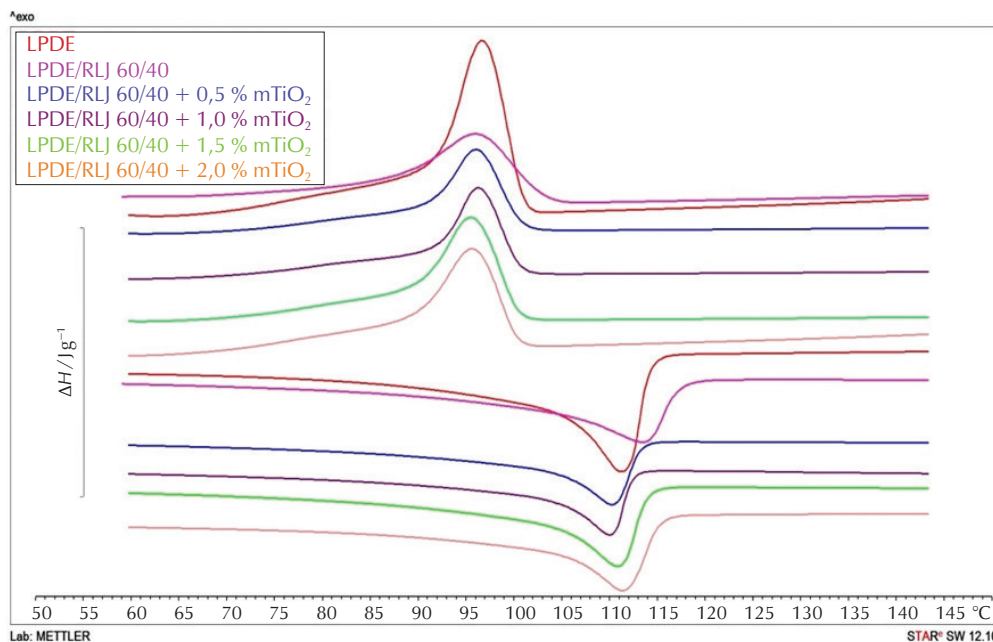


Slika 6 – DTG krivulje za čisti LDPE i LDPE/RLJ biokompozite bez dodatka mTiO<sub>2</sub> i s različitim masenim udjelom mTiO<sub>2</sub>

Fig. 6 – DTG curves of the neat LDPE and LDPE/RH biocomposites without mTiO<sub>2</sub> and with different mass fraction of mTiO<sub>2</sub>

Tablica 2 – Rezultati dobiveni TGA analizom  
Table 2 – Results of TG analysis

Uzorak Sample	$T_{5\%}/^{\circ}\text{C}$	$T_1^{\max}/^{\circ}\text{C}$	$T_2^{\max}/^{\circ}\text{C}$	$T_3^{\max}/^{\circ}\text{C}$	$T_{\text{kraj}}/^{\circ}\text{C}$	Ostatak pri $700\ ^{\circ}\text{C}$ Residue at $700\ ^{\circ}\text{C}$ /%
LDPE	427,8	–	–	473,4	484,6	0,00
LDPE/RLJ 60/40	302,3	112,7	346,2	472,4	485,6	9,38
LDPE/RLJ 60/40 + 0,5 mTiO <sub>2</sub>	287,4	113,0	344,9	477,6	490,2	13,30
LDPE/RLJ 60/40 + 1,0 mTiO <sub>2</sub>	282,5	111,8	342,2	473,6	485,7	14,76
LDPE/RLJ 60/40 + 1,5 mTiO <sub>2</sub>	282,9	111,7	342,4	471,4	484,1	14,93
LDPE/RLJ 60/40 + 2,0 mTiO <sub>2</sub>	280,2	112,8	344,1	476,9	489,9	17,20



Slika 7 – DSC krivulje zagrijavanja i hlađenja za čisti LDPE i LDPE/RLJ biokompozite bez dodatka mTiO<sub>2</sub> i s različitim masenim udjelom mTiO<sub>2</sub>

Fig. 7 – DSC heating and cooling curves of the neat LDPE and LDPE/RH biocomposites without mTiO<sub>2</sub> and with different mass fraction of TiO<sub>2</sub>

Iz tablice 2 vidljivo je da se početak razgradnje LDPE/RLJ biokompozita dodatkom mTiO<sub>2</sub> pomiče prema neznatno nižim temperaturama. Porast udjela mTiO<sub>2</sub> znatno ne utječe na toplinski stabilnost biokompozita. Međutim, vidljivo je da dolazi do porasta ostataka pri  $700\ ^{\circ}\text{C}$  (koji je vezan dijelom za siliku prisutnu u RLJ 9,38 % i udio mTiO<sub>2</sub>) povećanjem udjela mTiO<sub>2</sub>. Što ukazuje na prisutnost mTiO<sub>2</sub> u svim biokompozitima, ali je najveći kod masenog udjela mTiO<sub>2</sub> od 1,5 i 2,0 %.

### 3.3. Rezultati dobiveni DSC mjerjenjem

DSC krivulje zagrijavanja i hlađenja čistog LDPE-a i LDPE biokompozita bez udjela i s raznim udjelima mTiO<sub>2</sub> prikazane su na slici 7 te su vrijednosti temperature taljenja,  $T_m$ , temperature kristalizacije,  $T_c$  i entalpije taljenja,  $\Delta H_m$ , dobivene izravno iz tih krivulja sumarno prikazane u tablici 3. Iz krivulja zagrijavanja čistog LDPE i LDPE/RLJ biokompozita s različitim udjelom mTiO<sub>2</sub> na slici 7 vidljivo je kako čisti LDPE i biokompoziti imaju jedan pik taljenja koji odgovara

Tablica 3 – Rezultati dobiveni DSC mjerjenjem

Table 3 – Results of DSC measurements

Uzorak Sample	$T_m/^\circ\text{C}$	$T_c/^\circ\text{C}$	$\Delta H_m/\text{J g}^{-1}$	$\chi_c/\%$
LDPE	111,0	97,3	79,12	27,3
LDPE/RLJ 60/40	112,7	96,4	78,00	26,9
LDPE/RLJ 60/40 + 0,5 mTiO <sub>2</sub>	110,1	96,3	42,58	14,8
LDPE/RLJ 60/40 + 1,0 mTiO <sub>2</sub>	110,0	96,7	47,23	16,4
LDPE/RLJ 60/40 + 1,5 mTiO <sub>2</sub>	110,5	96,0	58,03	20,3
LDPE/RLJ 60/40 + 2,0 mTiO <sub>2</sub>	111,1	96,1	51,52	18,1

taljenju kristalne faze LDPE. Iz DSC krivulja i vrijednosti  $T_m$  navedenih u tablici 3 vidljivo je kako temperatura taljenja s povećanjem udjela mTiO<sub>2</sub> ostaje gotovo nepromijenjena. Na DSC krivulji hlađenja čistog LDPE-a dobiven je egzotermni prijelaz vezan za kristalizaciju LDPE-a s  $T_c$  pri 97,3 °C. Dodatak i povećanje udjela mTiO<sub>2</sub> nema značajan utjecaj na  $T_c$ . Stupanj kristalnosti,  $\chi_c$ , raste s povećanjem udjela mTiO<sub>2</sub> u biokompozitima, što znači da mTiO<sub>2</sub> djeluje kao nukleacijski agens te dovodi do stvaranja pravilnih i savršenih kristala s većim stupnjem uređenosti. To povećanje  $\chi_c$  potvrda je prisutnosti mTiO<sub>2</sub> u biokompozitima.

#### 4. Zaključak

U ovom radu ispitana je utjecaj različitog masenog udjela mikro TiO<sub>2</sub> (0,5; 1,0; 1,5 i 2,0 %) na inhibiciju bakterijske kulture *Escherichia coli*, *Pseudomonas aeruginosa* i *Bacillus subtilis* u LDPE/RLJ biokompozitima. Dobiveni rezultati ukazuju da dodatkom mTiO<sub>2</sub> u biokompozite LDPE/RLJ 60/40 dolazi do inhibicije bakterijskih kultura *Escherichia coli*, *Pseudomonas aeruginosa* i *Bacillus subtilis*. Povećanjem masenog udjela mTiO<sub>2</sub> u biokompozitima smanjuje se broj stanica bakterijskih kultura, tj. inhibicijsko djelovanje je veće. Pri masenom udjelu mTiO<sub>2</sub> od 1,5 i 2,0 % inhibicijsko djelovanje je najveće. Stupanj kristalnosti,  $\chi_c$ , u biokompozitima s većim udjelom mTiO<sub>2</sub> raste, što znači da je mTiO<sub>2</sub> prisutan u biokompozitima. Čisti LDPE razgrađuje se u jednom stupnju razgradnje, dok se biokompoziti LDPE/RLJ 60/40 bez i s dodatkom mTiO<sub>2</sub> razgrađuju u dva stupnja razgradnje, gdje se u prvom stupnju razgradnje na nižoj temperaturi odvija razgradnja rižinskih ljkusika, dok se u drugom stupnju razgrađuje LDPE. Povećanjem udjela mTiO<sub>2</sub> u biokompozitima dolazi do neznatnog smanjenja njihove toplinske stabilnosti. Ostatak pri 700 °C raste s povećanjem udjela mTiO<sub>2</sub>, što ukazuje na prisutnost mTiO<sub>2</sub>

u svim biokompozitima, ali je najveći kod masenog udjela mTiO<sub>2</sub> od 1,5 i 2,0 %.

#### Popis kratica i simbola

#### List of abbreviations and symbols

LDPE	– polietilen niske gustoće – low density polyethylene
RLJ	– rižine ljkusice – rice husks
TiO <sub>2</sub>	– titanijev dioksid – titanium dioxide
TGA	– termogravimetrijska analiza – thermogravimetric analysis
DSC	– diferencijalna pretražna kalorimetrija – differential scanning calorimetry
$\Delta H_m$	– entalpija taljenja u procesu zagrijavanja, $\text{J g}^{-1}$ – melting enthalpy during heating, $\text{J g}^{-1}$
$T_c$	– temperatura kristalizacije, °C – crystallization temperature, °C
TG	– termogravimetrijska krivulja – thermogravimetric curve
DTG	– derivativna krivulja – derivative curve
$T_{5\%}$	– temperatura kod 5 % razgradnje, °C – temperature of 5 % degradation, °C
$T_{kraj}$	– temperatura kraja razgradnje, °C – degradation temperature at the end, °C
$T_{max}$	– temperatura maksimalne brzine razgradnje, °C – maximum temperature of the decomposition peak, °C
$R_{700^\circ\text{C}}$	– ostatak pri 700 °C, % – residue at 700 °C, %

**Literatura****References**

1. F. Omar, A. K. Bledzki, H.-P. Fink, M. Sain, Biocomposites reinforced with natural fibers: 2000–2010, *Prog. Polym. Sci.* **37** (2012) 1552–1596, doi: <https://doi.org/10.1016/j.progpolymsci.2012.04.003>.
2. K. G. Satyanarayana, G. G. C. Arizaga, F. Wypych, Biodegradable composites based on lignocellulosic fibers – An overview, *Prog. Polym. Sci.* **34** (2009) 982–1021, doi: <https://doi.org/10.1016/j.progpolymsci.2008.12.002>.
3. L. Mohammed, M. N. M. Ansari, G. Pua, M. Jawaid, M. S. Islam, A Review on Natural Fiber Reinforced Polymer Composite and Its Applications, *Int. J. Polym. Sci.* **2** (2015) 1–15, doi: <https://doi.org/10.1155/2015/243947>.
4. H. R. Pant, B. Pant, R. K. Sharma, A. Amarjargal, H. J. Kim, C. H. Park, L. D. Tijing, C. S. Kim, Antibacterial and photocatalytic properties of Ag/TiO<sub>2</sub>/ZnO nano-flowers prepared by facile one-pot hydrothermal process, *Ceram. Int.*, **39** (2013) 1503–1510, doi: <https://doi.org/10.1016/j.ceramint.2012.07.097>.
5. V. Aruoja, H.-C. Dubourguier, K. Kasemets, A Kahru, Toxicity of nanoparticles of CuO, ZnO and TiO<sub>2</sub> to microalgae *Pseudokirchneriella subcapitata*, *Sci. Total Environ.* **407** (2009) 1461–1468, doi: <https://doi.org/10.1016/j.scitotenv.2008.10.053>.
6. M. Haghi, M. Hekmatafshar, M. B. Janipour, S. S. Gholizadeh, M. K. Faraz, F. Sayyadifar, M. Ghaedi, Antibacterial effect of TiO<sub>2</sub> nanoparticles on pathogenic strain of *E. Coli*, *Inter. J. Adv. Biot. Res.* **3** (2012) 621–624, doi: <http://www.bipublication.com>.
7. S. A. Mahdy, W. H. Mohammed, H. Emad, H. A. Kareem, R. Shamel, S. Mahdi, The Antibacterial Activity of TiO<sub>2</sub> Nanoparticles, *J. Babylon Univ./Pure Appl. Sci.* **25** (2017) 955–961, doi: [www.uobjournal.com/papers/uobj\\_paper\\_2017\\_71725619](http://www.uobjournal.com/papers/uobj_paper_2017_71725619).
8. P. Tribedi, A. K. Sil, Low-density polyethylene degradation by *Pseudomonas* sp. AKS2 biofilm, *Environ. Sci. Pollut. Res. Int.* **20** (2013) 4146–4153, doi: <https://doi.org/10.1007/s11356-012-1378-y>.
9. H. Rajandas, S. Parimannan, K. Sathasivam, M. Ravichandran, L. S. Yin, A novel FTIR-ATR spectroscopy based technique for the estimation of low-density polyethylene biodegradation, *Polym. Test* **31** (2012) 1094–1099, doi: <https://doi.org/10.1016/j.polymertesting.2012.07.015>.
10. B. Nowak, J. Pajak, M. Drozd-Bratkowicz, G. Rymarz, Micro-organisms participating in the biodegradation of modified polyethylene films in different soils under laboratory conditions, *Int. Biodeterior. Biodegrad.* **65** (2011) 757–767, doi: <https://doi.org/10.1016/j.ibiod.2011.04.007>.
11. M. Koutny, P. Amato, M. Muchova, J. Ruzicka, A.-M. Delort, Soil bacterial strains able to grow on the surface of oxidized polyethylene film containing prooxidant additives, *Int. Biodeterior. Biodegrad.* **63** (2009) 354–357, doi: <https://doi.org/10.1016/j.ibiod.2008.11.003>.
12. S. Fontanella, S. Bonhomme, M. Koutny, L. Husarova, J. M. Brusson, J. P. Courdavault, S. Pitteri, G. Samuel, G. Pichon, J. Lemaire, A. M. Delort, Comparison of the biodegradability of various polyethylene films containing pro-oxidant additives, *Polym. Degrad. Stab.* **95** (2010) 1011–1021, doi: <https://doi.org/10.1016/j.polymdegradstab.2010.03.009>.
13. A. Manzur, M. Limón-González, E. Favela-Torres, Biodegradation of physicochemically treated LDPE by a consortium of filamentous fungi, *J. Appl. Polym. Sci.* **92** (2004) 265–271, doi: <https://doi.org/10.1002/app.13644>.
14. R. Pramila, K. V. Ramesh, Biodegradation of low density polyethylene (LDPE) by fungi isolated from marine water – a SEM analysis, *Afr. J. Microbiol. Res.* **5** (2011) 5013–5018, doi: <https://doi.org/10.5897/AJMR11.670>.
15. K. Yamada-Onodera, H. Mukumoto, Y. Katsuyaya, A. Saiganji, Y. Tani, Degradation of polyethylene by a fungus, *Penicillium simplicissimum* YK, *Polym. Degrad. Stab.* **72** (2001) 323–327, doi: [https://doi.org/10.1016/s0141-3910\(01\)00027-1](https://doi.org/10.1016/s0141-3910(01)00027-1).
16. W. Wu, Y. Jin, F. Bai, S. Jin, *Pseudomonas aeruginosa* (Chapter 41), u Y.W. Tang, M. Sussman, D. Liu, I. Poxton and J. Schwartzman (ur.), *Molecular Medical Microbiology*, 2<sup>nd</sup> Ed, Academic press, London, UK, 2015, str. 753–767, doi: <https://doi.org/10.1016/B978-0-12-397169-2.00041-X>.
17. H. Rajandas, S. Parimannan, K. Sathasivam, M. Ravichandran, L. S. Yin, A novel FTIR ATR spectroscopy based technique for the estimation of low-density polyethylene biodegradation, *Polym. Test* **31** (2012) 1094–1099, doi: <https://doi.org/10.1016/j.polymertesting.2012.07.015>.
18. S. Haq, W. Rehman, M. Waseem, R. Javed, R. Mahfoozur, M. Shahid, Effect of heating on the structural and optical properties of TiO<sub>2</sub> nanoparticles: antibacterial activity Nanoparticles, *Appl. Nanosci.* (2018) 1–8, doi: <https://doi.org/10.1007/s13204-018-0647-6>.
19. G. J. Marosi, A. Menyhárd, G. Regdon, J. Varga, Thermal analysis of multiphase polymer systems, u A. Boudenne, L. Ibos, Y. Candau, S. Thomas, *Handbook of Multiphase Polymer Systems*, Chichester, UK: John Wiley& Sons, Ltd, 2011., str. 359–385, doi: <https://doi.org/10.1002/9781119972020.ch9>.
20. H. Hinsken, S. Moss, J.-R. Pauquet, H. Zweifel, Degradation of polymers during melt processing, *Polym. Degrad. Stab.* **34** (1991) 279–293, doi: [https://doi.org/10.1016/0141-3910\(91\)90123-9](https://doi.org/10.1016/0141-3910(91)90123-9).

## SUMMARY

### Antibacterial Properties of mTiO<sub>2</sub> Filler in Biocomposites Based on Low Density Polyethylene and Rice Husks

Antonija Kovacević, Dajana Kučić Grgić,\* Emi Govorčin Bajšić, and Nikolina Mrkonjić

Low-density polyethylene (LDPE) is a synthetic, non-degradable polymer most commonly used as a food packaging material; however, its non-degradability has an adverse effect on the environment. The development and use of biodegradable polymeric materials or plastics as packaging materials for food packaging has significantly increased. Biopolymers present one of the best alternatives for development of environmentally friendly packaging materials in the food industry due to their biodegradability. The aim of this study was to prepare biocomposites of low-density polyethylene (LDPE), rice husk (RH) and micro titanium dioxide (mTiO<sub>2</sub>) as a filler in order to obtain a biodegradable and antibacterial material suitable for use as a packaging material in the food industry. The biocomposites were prepared by melt mixing in laboratory Brabender mixer. Antibacterial effect of different mass fraction of mTiO<sub>2</sub> ( $w = 0.5; 1.0; 1.5$ , and  $2.0\%$ ) on bacterial cultures of *Escherichia coli*, *Pseudomonas aeruginosa*, and *Bacillus subtilis* was investigated. The results showed that mTiO<sub>2</sub> inhibited the growth of bacterial cultures of *Escherichia coli*, *Pseudomonas aeruginosa*, and *Bacillus subtilis* at the mTiO<sub>2</sub> mass fraction of 1.5 and 2.0 % (the number of bacterial culture cells decreased). The results of TGA and DSC measurements showed that TiO<sub>2</sub> was blended successfully into the biocomposites.

#### Keywords

Low-density polyethylene (LDPE), rice husks (RH), biocomposites, titanium dioxide (TiO<sub>2</sub>), antibacterial properties

University of Zagreb, Faculty of Chemical  
Engineering and Technology, Marulićev trg 19,  
HR-10 000 Zagreb, Croatia

Preliminary communication  
Received February 5, 2019  
Accepted December 11, 2019